

# Computer Animation Final Project - Snow simulation using moving least square material point method

Group 34: 110550059 劉珩睿, 110550047 巫廷翰

## Outline

---

- Introduction
- Fundamentals
- Implementations
- Results and discussion
- (Extra) Augmented MPM
- Conclusion
- Member contribution
- Reference
- Files and Links

## Introduction

---

- 雪的物理模擬可以應用於多媒體產業或災害防治等領域，因此，我們想要在這次的期末專案中研究如何模擬雪這種材料。
- 專案中，我們將研究如何使用 MPM(Material Point Method) 來模擬雪。MPM 是一種模擬連續介質的方法，我們將研究其方法以及原理。
- 接著，我們會研究 MLS-MPM(Moving Least Square MPM)，MLS-MPM是對於 MPM 方法的一種改進，可以提升其穩定性以及模擬效率，我們將會研究其如何改善 MPM。
- 最後，我們會實作使用 MPM 和 MLS-MPM 進行的雪模擬。我們將使用 Taichi 程式語言進行模擬，以其提供的 `mpm3d_ggui.py` 作為基底生成模擬的粒子動畫，並將其輸入至 Houdini 動畫軟體生成表面，以達成雪的效果。我們將會展示我們的模擬結果，以及不同的參數對模擬結果的影響。
- 除了使用 MPM 和 MLS-MPM 進行雪的模擬之外，我們還另外研究如何處理相變材料融化以及凝固的行為，我們實作了一個方法 Augmented MPM，其可以針對溫度以及相變進行處理，達到模擬的效果。但目前數值系統仍未穩定。我們將會說明 Augmented MPM的原理以及方法。

## Fundamentals

---

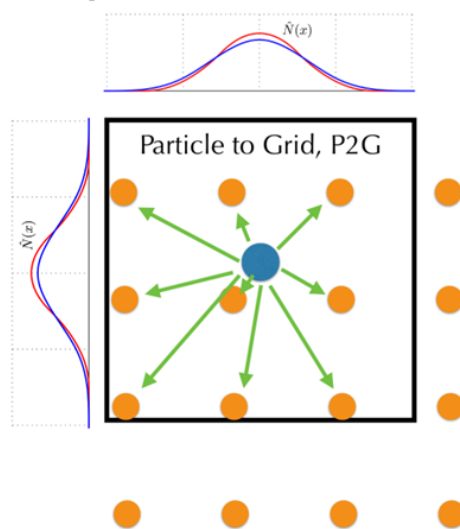
### MPM(Material point method)

---

- Continuum Material
  - 連續介質(Continuum Material)泛指各種流體及固體，或是所謂「連續體」，在連續介質力學中，有一個最基本的假設稱為「連續介質假設」，也就是流體以及固體都可以視為連續的介質組成，每個介質之間無空隙，並且介質之間受牛頓力學支配。
  - MPM方法即為模擬連續介質的一種方法，並透過連續介質力學推得整體方法的流程。
- Eulerian view and Lagrangian view
  - 在做物理模擬時，很常使用兩種視角去觀察整個物理系統，Eulerian視角以及Lagrangian視角。

- Eulerian視角中，將整個物理系統切分成固定距離的網格，透過每個固定不動的網格點來觀察整個物理系統。Lagrangian視角則不同，將物質的每一個部分視為一個小小的區域，將這些區域稱為粒子(particle)，有自己的質量、能量以及速度，以這些粒子來觀察整個物理系統。
  - 注意: Lagrangian視角中，粒子並不是真正意義上的粒子，他代表連續體的一個子集，是一個連續的區域。
- 這兩種視角各有優缺點。
  - Eulerian視角中，由於每個網格之間的距離固定，很容易就可以取得相鄰的網格節點的資訊，可以十分有效的計算有關介質之間的物理量(Ex. 壓力)。但是使用Eulerian視角很容易使整體的物理系統能量耗散，難以維持整個物理系統的動能。
  - Lagrangian視角中，由於每個粒子的位置不同，且一個連續體中粒子的數量許多，如果需要計算粒子之間的物理量就會需要查找附近的粒子，效率很差。但相對Eulerian視角來說，由於每個粒子的質量守恆，比較容易維持整個物理系統的能量。
- MPM方法即結合這兩種視角，各取兩種視角的優點。MPM方法本質上是一種Lagrangian視角的方法，大部分的物理量如質量、速度等都以粒子的方式儲存，但在方法進行的過程中，會透過一種稱為P2G(Particle to Grid)的方法轉換至網格，也就是Eulerian視角，在此視角做其擅長的運算之後，再透過一種稱為G2P(Grid to Particle)的方法轉換回粒子，也就是Lagrangian視角，再進行此視角擅長的運算。
- P2G and G2P
  - 要在Lagrangian視角(Particle)以及Eulerian視角(Grid)之間互相轉換，需要透過P2G以及G2P方式轉換。
  - P2G中，會把粒子的質量以及動量轉換到網格節點上，在網格節點中，會先透過節點質量以及動量求出節點速度，並做處理，接著來到G2P階段，會將結點速度轉換回粒子身上。而達成這兩個方式最常見的一種方法稱為PIC(Particle-in-cell)。
  - PIC中，每一個粒子與每一個節點都有一個分配的權重，節點位置距離粒子越近，權重越大。P2G中粒子在轉換質量以及動量給節點時，就是根據這個權重去做轉換，權重越大的節點可以獲得該粒子較大部分的質量以及動量，相同的，G2P中節點在轉換速度給粒子時，權重越大的粒子可以獲得較大部分的速度。而為了保持質量以及動量守恆，粒子對於每個節點的權重和必須為1。在實務上時常使用B-spline kernel來計算分配的權重，且由於B-spline的特性，僅粒子附近的少數幾個節點的權重非零，因此做轉換時僅需處理這些節點即可。
    - 權重分配如下圖，節點距離粒子越近，分配的權重越大

The particle does **not** treat neighbors equally



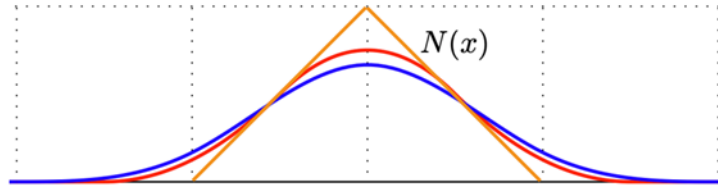
**Closer = more importance**

- 實務上，P2G中會將粒子的質量以及動量分配給節點，稱為scatter，而G2P中會將節點的速度轉移回粒子，或是由粒子去收集每個節點的速度，稱為gather。

- B-spline kernel如下， $N(x)$ 表示權重，可以使用Linear, quadratic或是cubic的B-spline kernel

## B-Spline Kernels $N(x)$

$$\begin{array}{lll}
 \text{Linear} & \text{Quadratic} & \text{Cubic} \\
 N(x) = \begin{cases} 1 - |x| & 0 \leq |x| < 1 \\ 0 & 1 \leq |x| \end{cases} & N(x) = \begin{cases} \frac{3}{4} - |x|^2 & 0 \leq |x| < \frac{1}{2} \\ \frac{1}{2}(\frac{3}{2} - |x|)^2 & \frac{1}{2} \leq |x| < \frac{3}{2} \\ 0 & \frac{3}{2} \leq |x| \end{cases} & N(x) = \begin{cases} \frac{1}{2}|x|^3 - |x|^2 + \frac{2}{3} & 0 \leq |x| < 1 \\ \frac{1}{6}(2 - |x|)^3 & 1 \leq |x| < 2 \\ 0 & 2 \leq |x| \end{cases}
 \end{array}$$



15 <https://www.seas.upenn.edu/~cffjiang/research/mpmcourse/mpmcourse.pdf>

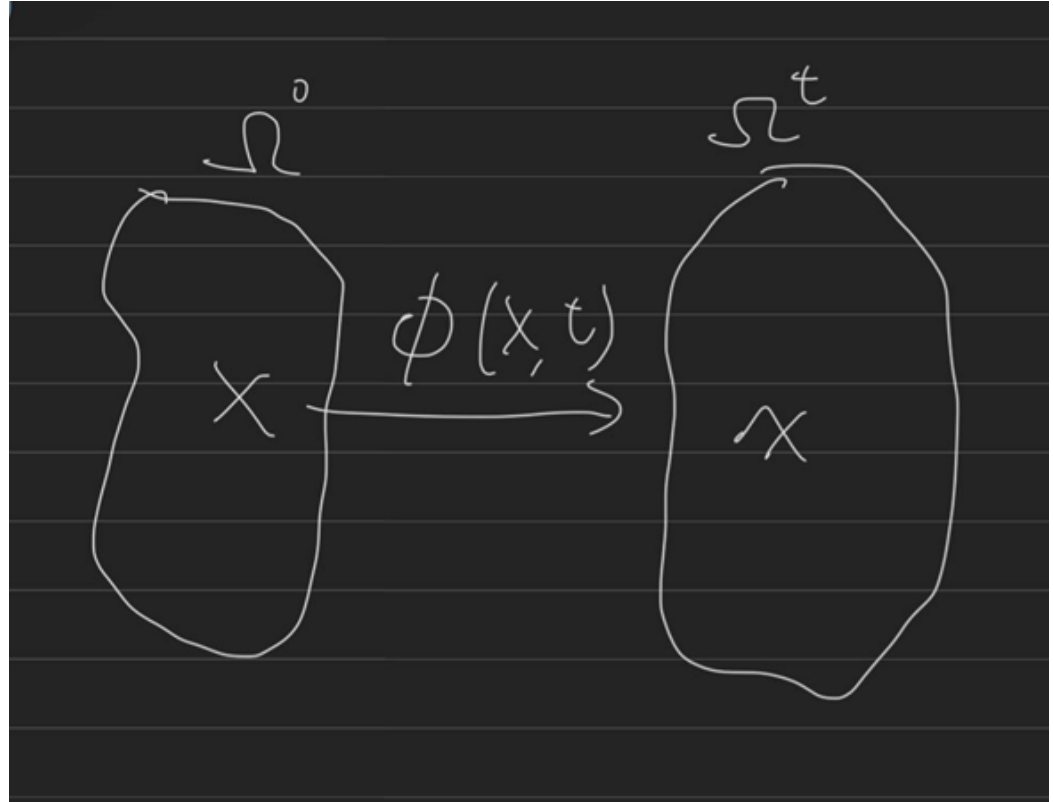
- 注意: 對於多個維度，權重就是每一個維度上的權重相乘，例如假設在三維空間中，粒子P對於節點i的權重  $N_i(x_p) = N(\frac{1}{h}(x_p - x_i))N(\frac{1}{h}(y_p - y_i))N(\frac{1}{h}(z_p - z_i))$ ，其中  $(x_p, y_p, z_p)$  為粒子的位置， $(x_i, y_i, z_i)$  為節點的位置， $h$  為節點之間的間距。
- 假設粒子質量為  $m_p$ ，粒子速度為  $v_p$ ，節點質量為  $m_i$ ，節點速度為  $v_i$ ，P2G可以寫成下面兩式
  - 質量分配為  $m_i = \sum_p m_p N_i(x_p)$
  - 動量分配為  $(mv)_i = \sum_p m_p v_p N_i(x_p)$
- G2P可以寫成此式
  - 速度分配為  $v_p = \sum_i v_i N_i(x_p)$
- 由於B-spline權重和為1，也就是  $\sum_i N_i(x_p) = 1$  因此可以維持質量以及動量守恆
  - 質量守恆: 由於  $m_i = \sum_p m_p N_i(x_p)$ ，因此  $\sum_i m_i = \sum_i \sum_p m_p N_i(x_p) = \sum_p m_p \sum_i N_i(x_p) = \sum_p m_p$
  - 動量守恆: 由於  $(mv)_i = \sum_p m_p v_p N_i(x_p)$ ，因此  $\sum_i (mv)_i = \sum_p m_p v_p$
- Material parameters
  - 每一種不同的物質有自己的物質特性，而這些物質特性通常使用一些參數來表示。以下描述幾個在MPM方法中會使用到的物質參數
  - Young's modulus
    - 定義:  $E = \frac{\sigma}{\epsilon}$ ，其中  $\sigma$  為單位面積受到的應力， $\epsilon$  為由於應力受到的應變，也就是沿著應力方向改變的物體長度
    - 如果一個物質的Young's modulus低，則表示應力造成的應變較大，則此物體較有彈性，可以壓縮或伸長，反之則應力造成的應變較小，物體較硬、較不具彈性。
  - Poisson ratio
    - 定義:  $\nu = -\frac{\epsilon_x}{\epsilon_z}$ ，其中  $\epsilon_x$  表示橫向的應變， $\epsilon_z$  表示縱向的應變(假設施予縱向的應力)。
    - 如果一個物質的Poisson ratio低，則表示即使縱向應變很大造成的橫向應變也不大，所以物體就比較不容易型變(伸長或壓扁需要橫向的應變)，物體材質較硬。反之若Poisson ratio高，則物體材質較軟。
  - Lamé' parameters
    - 藉由Young's modulus以及Poisson ratio，可以推導出兩個Lamé' parameter  $\mu$  以及  $\lambda$ ，在MPM方法中將使用這兩個參數去描述物質的性質。
    - 推導方式如下(假設材質的Young's modulus為  $E$ ，Poisson ratio為  $\nu$ )
      - $\lambda = \frac{E\nu}{(1+\nu)(1-2\nu)}$

- Continuum Kinematic Theory

- 接下來，將會藉由連續介質動力學推導MPM方法。
- Deformation map

■ 想像一個粒子，原本沒有移動或型變時位置為 $X$ ，且 $X \in \Omega^0$ ，而在每一個時刻介質都會受到移動或型變，每一個粒子都會移動到另一個位置 $x$ ，且 $x \in \Omega^t$ 。將一個粒子從靜態位置映射到移動或型變後位置的函數為 $\phi(X, t)$ ，在每一個時刻 $t$ ，將靜態位置為 $X$ 的粒子映射到位置 $x = \phi(X, t)$ ，這個映射函數 $\phi(X, t)$ 即稱為Deformation map。

- 如下圖，deformation map將靜止位置映射至移動或形變後位置。



- Deformation gradient

- 定義Deformation gradient  $F = \frac{\partial \phi}{\partial X}$ ，即deformation map的Jacobian，可以將 $\Omega^0$ 中的差值映射至 $\Omega^t$ 中的差值，如下圖

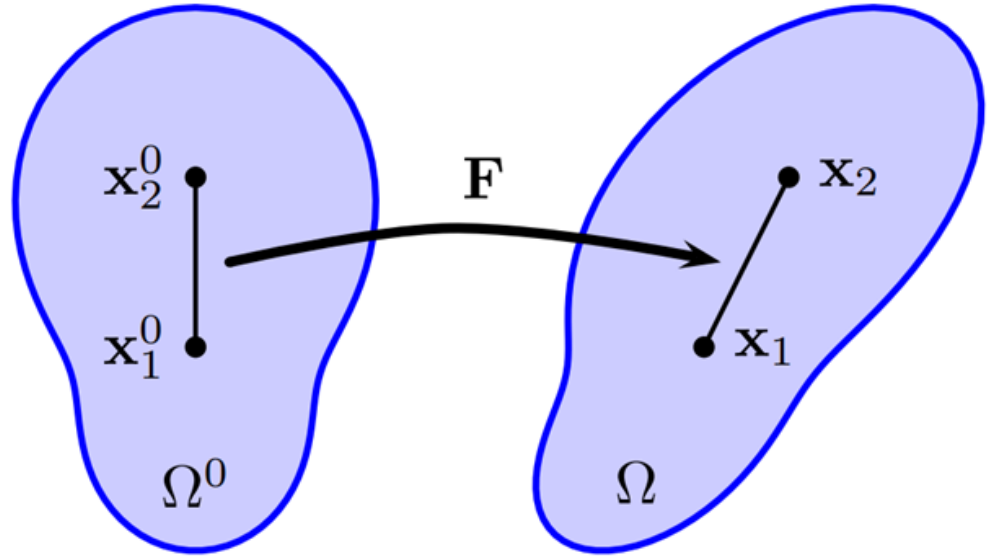


Figure 1: Deformation gradient.

- 定義Deformation volume ratio  $J = \det(F)$ ， $J$ 為deformation gradient的determinant，所以即為介質移動或形變後的體積變化比例。
- Stress-Strain energy density function
  - 當物體受到力時就有可能產生型變，而對於彈性材質，在不彈性疲乏造成物質變化的情況下，會趨向回復靜止的形狀。因此，可以定義一個物質在特定型變下有一個能量，稱為Stress-strain energy density function，在能量大於靜止形狀的能量時，便會透過此能量回復靜止的姿態。
  - 由於能量是由於型變造成的，因此能量應為型變的函數。而在這裡將deformation gradient視為型變，因此定義Energy function為 $F$ 的函數 $\psi(F)$ ，當 $F$ 所代表的型變越大，則能量越大。
  - 要考慮 $F$ 對型變之關係，可以先考慮剛性物體。
    - 對於剛性物體而言，型變為0，其deformation map為 $\phi(X, t) = RX + b$ ，其中 $R$ 為旋轉矩陣， $b$ 為平移量，從靜止位置映射到時刻 $t$ 時的位置的過程中僅會旋轉和平移，不會使物體產生型變。
    - 此時Deformation gradient  $F = \frac{\partial \phi}{\partial X} = R$ ，Deformation volume ratio =  $J = \det(F) = \det(R) = 1$ ，體積不會改變。因此可知當 $F$ 越接近旋轉矩陣 $R$ ，也就是越接近Orthogonal矩陣，型變越小。而 $R^T R = 1$ ，因此將 $F^T F$ 視為 $F$ 對於 $R$ 之偏移量。
    - 所以將能量定義為 $\psi(F) = \hat{\psi}(F^T F)$ ，能量會盡可能使 $F^T F$ 回復為1，減少型變。
- Stress
  - 給定能量 $\psi$ 以及deformation gradient  $F$ ，可以將應力定義為 $P = \frac{\partial \psi}{\partial F}$ ，這種應力稱為First Piola-Kirchoff Stress，或簡稱為PK1 stress。
  - 另一種應力的定義方式為 $\sigma = \frac{1}{J} P F^T = \frac{1}{\det(F)} \frac{\partial \psi}{\partial F} F^T$ ，這種應力稱為Cauchy stress。
- Hyperelasticity(超彈性)
  - 對於彈性材質，常會使用稱為New-Hookean的能量定義方式
    - 其能量定義為 $\psi(F) = \frac{\mu}{2} (\text{tr}(F^T F) - d) - \mu \log(J) + \frac{\lambda}{2} \log^2(J)$ ，其中 $d$ 表示材料所屬的空間維度(通常為2或3)
    - 其對應之PK1 stress為 $P(F) = \frac{\partial \psi}{\partial F}(F) = \mu(F - F^{-T}) + \lambda \log(J) F^{-T}$
  - 也常使用一種稱為Fixed Corotated的能量定義方式
    - 其能量定義為 $\psi(F) = \mu \sum_{i=1}^d (\sigma_i - 1)^2 + \frac{\lambda}{2} (J - 1)^2$ ， $d$ 亦為材料所屬的空間維度， $\sigma_i$ 則為 $F$ 的singular value。

- 其對應之PK1 stress為  $P(F) = \frac{\partial \psi}{\partial F}(F) = 2\mu(F - R) + \lambda(J - 1)JF^{-T}$ ，注意這裡的R為F做Polar decomposition後的rotation matrix，也就是若先對F做SVD， $F = U\Sigma V^T$ ，可以進一步寫成  $F = UV^T V\Sigma V^T = RS$ ， $R = UV^T$ ， $S = V\Sigma V^T$ ，R就代表F中旋轉的部分。

○ Snow plasticity

- 對於雪或流體這種材質，並不是全然的彈性，如果型變過大則會造成斷裂，也就是不可回復的型變，這種性質稱為plasticity(塑性)，相對的，可回復的彈性則稱為elasticity(彈性)
- 在模擬的過程中，需要處理彈性型變過大導致塑性型變的過程。由於我們使用deformation gradient來表示型變，因此可以將F拆分為塑性以及彈性兩個部分，如下圖， $F = F_P F_E$ ，可以想像成先透過不可回復的塑性型變  $F_P$  轉移到一個新的靜止位置後，再透過可回復的彈性型變  $F_E$  映射至形變後的位置，只是這裡的彈性及為相對於新的靜止位置的彈性，會回復至新的靜止位置。

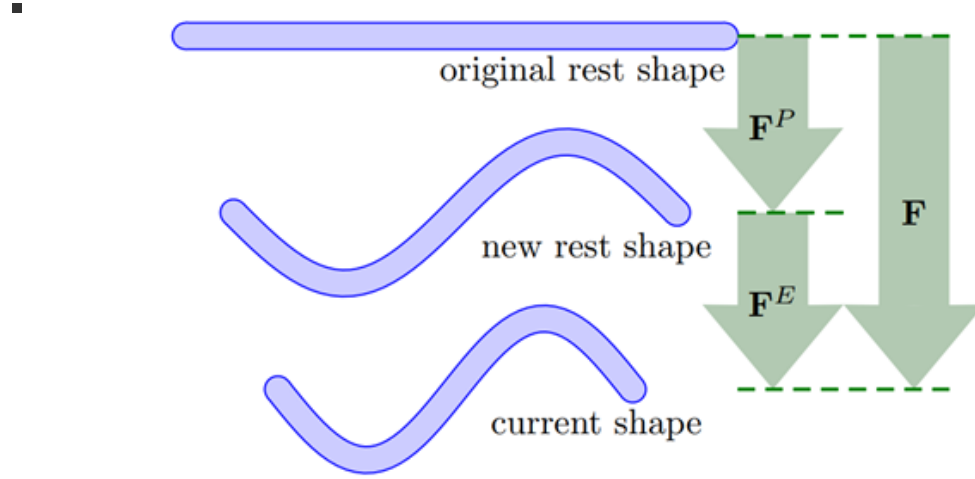


Figure 2: Multiplicative decomposition of the deformation gradient.

- 要將過大的彈性型變轉換至塑性型變，可以藉由限制  $F_E$  的singular value來達到。根據SVD， $F_E = U_E \Sigma_E V_E^T$ ，其中  $U_E, V_E^T$  為旋轉的部分， $\Sigma_E$  為伸縮部分，因此整個  $F_E$  對位置的影響可以分為旋轉( $U_E, V_E^T$ )以及伸縮部分( $\Sigma_E$ )，而會使彈性型變轉換成塑性型變的原因，就是因為伸縮太大，導致介質斷裂，因此若  $F_E$  之Singular value超過一定範圍，則需要將超過的部分轉移至塑性型變
- 因此，會給定一個Singular value的範圍  $[1 - \theta_c, 1 + \theta_s]$ ， $\theta_c$  稱為critical compression，影響可以壓縮的最小範圍， $\theta_s$  稱為critical stretch，影響可以伸長的最大範圍。
- 在整個MPM方法中，每個time step會去迭代每個粒子的deformation gradient。假設已經知道此粒子的下一個時刻的deformation gradient為  $F^{n+1}$ 
  - 下一個時刻的彈性型變  $F_E^{n+1} = U_E \hat{\Sigma}_E V_E^T$ ，其中  $F_E^n = U_E \Sigma_E V_E^T$ ，且  $\hat{\Sigma}_E = \text{clamp}(\Sigma_E, [1 - \theta_c, 1 + \theta_s])$ ，也就是  $\Sigma_E$  中的每個singular value都會被限制在這個範圍內。
  - 而由於  $F_P F_E = F$ ，因此下一個時刻的塑性型變  $F_P^{n+1} = (F_E^{n+1})^{-1} F^{n+1} = V_E \hat{\Sigma}_E^{-1} U_E^T F^{n+1}$ ，如此，就可以將超出範圍的Singular value轉移到塑性型變上。
- 而新的塑性型變會造成新的靜止位置，進而造成新的物質特性。例如雪在很集中時較堅韌，較分開時較易碎。因此需要使物質的參數根據塑性的型變作調整。因此每一個time step更新完塑性型變  $F_P$  後，便會先取得其體積變化比例  $J_P = \det(F_P)$ ，並將lame parameter更新為  $\mu(F_P) = \mu_0^{\xi(1-J_P)}$ ， $\lambda(F_P) = \lambda_0 e^{\xi(1-J_P)}$ ，其中  $\mu_0, \lambda_0$  為物質的初始lame' parameter， $\xi$  為指定的hardening coefficient，透過調整物質參數便可以模擬物質在不同的靜止位置時不同的特性。

○ Governing equation

- 藉由連續介質力學中的質量守恆以及動量守恆，可以推導力平衡方程式：

$\int_{\Omega^t} q_i(x, t) \rho(x, t) a_i(x, t) dx = \int_{\partial\Omega^t} q_i t_i ds(x) - \int_{\Omega^t} q_{i,k} \sigma_{i,k} dx$ 。其中  $q_i(x, t)$  為定義在每個節點的輔助函數，可自行定義， $\rho(x, t)$  為密度， $a_i(x, t)$  為加速度， $t_i$  為邊界條件， $ds(x)$  為極小區域面積， $\sigma$  為Cauchy stress。

- 將此力平衡方程式對時間進行離散化，也就是使  $a_i(x, t) \approx \frac{v_{\alpha}^{n+1}(x) - v_{\alpha}^n(x)}{\Delta t}$ ，則力平衡方程式則變為  $\int_{\Omega^t} q_i(x, t^n) \rho(x, t^n) (v_{\alpha}^{n+1}(x) - v_{\alpha}^n(x)) dx = \int_{\partial\Omega^t} q_{\alpha}(x, t^n) t_{\alpha}(x, t^n) ds(x) - \int_{\Omega^t} q_{\alpha,\beta}(x, t^n) \sigma_{\alpha,\beta}(x, t^n) dx$ ，注意  $\alpha$  為每個維度上的分量
- 接著將方程式對空間進行離散化。這是MPM方法中需要使用Grid的地方，將粒子轉為網格，就是對空間進行離散化。將輔助函數以及速度寫為網格形式，就可以將方程式寫成對空間離散的形式。如下圖

## Discretization

- Discretize the governing equation wrt space

$$\frac{1}{\Delta t} \int_{\Omega^{t^n}} q_{\alpha}(x, t^n) \rho(x, t^n) (v_{\alpha}^{n+1}(x) - v_{\alpha}^n(x)) dx = \int_{\partial\Omega^{t^n}} q_{\alpha}(x, t^n) t_{\alpha}(x, t^n) ds(x) - \int_{\Omega^{t^n}} q_{\alpha,\beta}(x, t^n) \sigma_{\alpha,\beta}(x, t^n) dx,$$

$$\frac{1}{\Delta t} \int_{\Omega^{t^n}} q_{i\alpha}^n N_i(x) \rho(x, t^n) v_{j\alpha}^{n+1} N_j(x) dx - \frac{1}{\Delta t} \int_{\Omega^{t^n}} q_{i\alpha}^n N_i(x) \rho(x, t^n) v_{j\alpha}^n N_j(x) dx = \int_{\partial\Omega^{t^n}} q_{i\alpha}^n N_i(x) t_{\alpha}(x, t^n) ds(x) - \int_{\Omega^{t^n}} q_{i\alpha}^n N_{i,\beta}(x) \sigma_{\alpha,\beta}(x, t^n) dx.$$

$$\begin{aligned} q_{\alpha}(x, t^n) &= \sum_i q_{i\alpha}(t^n) N_i(x), \\ v_{\alpha}^n(x) &= \sum_j v_{j\alpha}^n N_j(x), \\ v_{\alpha}^{n+1}(x) &= \sum_j v_{j\alpha}^{n+1} N_j(x) \end{aligned}$$

- 接著定義輔助函數，即可推導出現在時刻  $t^n$  以及下一個時刻  $t^{n+1}$  的動量差，就可以得到更新節點動量，也就是更新速度的方式。如下圖。

## Discretization

- Define q (auxiliary function, or test function)

$$q_{i\alpha}^n = \begin{cases} 1, & \alpha = \hat{\alpha} \text{ and } i = \hat{i} \\ 0, & \text{otherwise} \end{cases}$$

$$\frac{1}{\Delta t} \int_{\Omega^{t^n}} q_{i\alpha}^n N_i(x) \rho(x, t^n) v_{j\alpha}^{n+1} N_j(x) dx - \frac{1}{\Delta t} \int_{\Omega^{t^n}} q_{i\alpha}^n N_i(x) \rho(x, t^n) v_{j\alpha}^n N_j(x) dx = \int_{\partial\Omega^{t^n}} q_{i\alpha}^n N_i(x) t_{\alpha}(x, t^n) ds(x) - \int_{\Omega^{t^n}} q_{i\alpha}^n N_{i,\beta}(x) \sigma_{\alpha,\beta}(x, t^n) dx.$$

$$\sum_j \frac{m_{ij}}{\Delta t} (v_{j\hat{\alpha}}^{n+1} - v_{j\hat{\alpha}}^n) = \int_{\partial\Omega^{t^n}} N_{\hat{i}} t_{\hat{\alpha}} ds(x) - \int_{\Omega^{t^n}} N_{\hat{i},\beta} \sigma_{\hat{\alpha},\beta} dx.$$

- 而  $\int_{\Omega^{t^n}} N_{i,\beta}(x) \sigma_{\alpha,\beta}(x, t^n) dx$  經過轉換可以寫成  $\sum_p P_{p\alpha\gamma}^n F_{p\beta\gamma}^n N_{i,\beta}(x_p^n) V_p^0$ ，於是整個方程式可以寫成以下形式

$$\frac{((mv)_{i\alpha}^{n+1} - (mv)_{i\alpha}^n)}{\Delta t} = \int_{\partial\Omega^{t^n}} N_{\hat{i}}(x) t_{\hat{\alpha}}(x, t^n) ds(x) - \sum_p P_{p\alpha\gamma}^n F_{p\beta\gamma}^n N_{\hat{i},\beta}(x_p^n) V_p^0.$$

- 等式右側的積分項在設定Neumann boundary condition的情況下，會變成0，因此只需計算  $\sum_p P_{p\alpha\gamma}^n F_{p\beta\gamma}^n N_{i,\beta}(x_p^n) V_p^0$
- 所以在每一個time step更新速度時，需要知道每個粒子的PK1 stress, deformation gradient, 權重函數，以及初始體積。權重函數以及初始體積為固定值，所以每一個time step必須計算出PK1 stress以及下一個時刻的deformation gradient。

- 要更新Deformation gradient · 需要將其對時間進行離散化。

- 先將 $F(X, t^{n+1})$ 對時間進行偏微分:  $\frac{\partial}{\partial t} F(X_p, t^{n+1}) = \frac{\partial v^{n+1}}{\partial x}(\phi(X, t^n)) F(X, t^n)$
- 接著將其寫成對時間離散化的形式:  $\frac{\partial}{\partial t} F(X_p, t^{n+1}) \approx \frac{F_p^{n+1} - F_p^n}{\Delta t}$
- 經過整理 · 即可得到deformation gradient更新的方式:  

$$F_p^{n+1} = F_p^n + \Delta t \frac{\partial v^{n+1}}{\partial x}(x_p^n) F_p^n = (I + \Delta t \frac{\partial v^{n+1}}{\partial x}(x_p^n)) F_p^n$$
- 而其中的 $\frac{\partial v^{n+1}}{\partial x}$  · 也稱為速度導數 · 由於 $v^{n+1}(x) = \sum_i v_i^{n+1} N_i(x)$  · 因此可以寫成  

$$\frac{\partial v^{n+1}}{\partial x}(x) = \sum_i v_i^{n+1} \left( \frac{\partial N_i}{\partial x}(x) \right)^T$$
- 所以更新deformation gradient的方式為 $F_p^{n+1} = (I + \Delta t \sum_i v_i^{n+1} \left( \frac{\partial N_i}{\partial x}(x_p^n) \right)^T) F_p^n$
- 透過以上方式 · 只要知道下一個時刻每個節點的速度 $v_i^{n+1}$  · 就可以更新下一個時刻每個粒子的deformation gradient

- 要更新速度 · 可以從彈性能量的觀點去看。

- 假設在下一個時刻 · 每個粒子移動至 $\hat{x}$  · 則整體的彈性能量為 $e(\hat{x}) = \sum_p \psi(F_p(\hat{x})) V_p^0$  · 將其對節點位置偏微分 · 即可得到每個節點在下一個時刻的受力 · 也就是  

$$-f_i(\hat{x}) = \frac{\partial e}{\partial \hat{x}_i}(\hat{x}) = \sum_p V_p^0 \frac{\partial \psi}{\partial F}(\hat{F}_p(\hat{x})) (F_p^n)^T \nabla w_{ip}^n$$
 · 每一個維度的分量  

$$-f_{i\alpha}(\hat{x}) = \frac{\partial e}{\partial \hat{x}_{i\alpha}}(\hat{x}) = \sum_p P_{\alpha\gamma}(F_p(\hat{x})) F_{p\gamma}^n N_{i,\tau}(x_p^n) V_p^0$$
 · 其實就是動量方程式中的等式右側 · 可以使用這個受力去更新節點的速度。
- 也就是說 · 更新動量的方式為 $(mv)_{i\alpha}^{n+1} = (mv)_{i\alpha}^n - \Delta t \frac{\partial e}{\partial \hat{x}_{i\alpha}}(\hat{x})$  · 透過受力更新動量
- 以上使用的是下一個時刻的粒子位置造成節點的受力 · 是一種implicit的更新方式 · 要計算 $P(\hat{F}_p(\hat{x}))$ 會需要計算Heissan matrix · 因此實務上為了效率以及簡化 · 會使用explicit的方式更新 · 也就是直接使用這個時刻的粒子位置 $x$ 去做計算 ·  

$$f_i^n = f_i(x_i^n) = - \sum_p V_p^0 \left( \frac{\partial \psi_p}{\partial F}(F_p^n) \right) (F_p^n)^T \nabla w_{ip}^n$$

- 總之 · 每個時刻必須去計算每個節點的受力並更新節點的動量 · 並透過新的節點速度更新deformation gradient。

## • MPM Scheme

- 統整以上的推導 · 得到MPM方法的整體演算法

- At each time step n

1. P2G: 將粒子的質量以及動量scatter到結點上

$$1. m_i = \sum_p m_p N_i(x_p)$$

$$2. (mv)_i = \sum_p m_p v_p N_i(x_p)$$

2. 透過節點的質量以及動量計算節點的速度:  $v_i = \frac{(mv)_i}{m_i}$

3. 決定每個節點的自由度 · 只處理部分需要處理的節點 · 也就是質量不為零的節點

4. 計算節點的力:  $f_i^n = f_i(x_i^n) = - \sum_p V_p^0 \left( \frac{\partial \psi_p}{\partial F}(F_p^n) \right) (F_p^n)^T \nabla w_{ip}^n$

5. 更新節點的速度:  $v_i^{n+1} = v_i^n + \Delta t \frac{f_i(x_i^n)}{m_i}$

1. 在這一步需要處理碰撞情形

2. 如果需要維持不可壓縮性 · 可以在更新完速度後做Chorin style projection將散度投影為0 · 得到最後正確的速度。

6. 透過新的節點速度更新粒子的deformation gradient · 並限制彈性型變得singular value · 轉為塑性型變

$$1. F_p^{n+1} = (I + \Delta t \sum_i v_i^{n+1} \left( \frac{\partial N_i}{\partial x}(x_p^n) \right)^T) F_p^n$$

$$2. F_E^{n+1} = U_E \hat{\Sigma}_E V_E^T, \text{ where } F_E^n = U_E \Sigma_E V_E^T \text{ and } \hat{\Sigma}_E = \text{clamp}(\Sigma_E, [1 - \theta_c, 1 + \theta_s])$$

$$3. F_P^{n+1} = (F_E^{n+1})^{-1} F^{n+1} = V_E \hat{\Sigma}_E^{-1} U_E^T F^{n+1}$$

7. G2P: 將節點的速度gather回粒子上



1.  $v_p = \sum_i v_i N_i(x_p)$
8. 更新粒子的位置:  $x_p^{n+1} = x_p^n + \Delta t v_p^{n+1}$
9. 粒子碰撞處理
  - MPM方法利用Lagrangian視角以及Eulerian視角的優勢，各取其長，Lagrangian負責儲存大部分物理量與平移，Eulerian負責計算力以及做Projection(如果需要的話)。
- APIC(Affine PIC)
  - 在使用PIC進行P2G以及G2P時，由於是從一個粒子轉到多個節點，可能會損失部分動量。
  - 因此Affine PIC對PIC做了修正，在做P2G以及G2P的過程中加上一個Affine矩陣，以更好的維持動量。
  - 具體而言，對於任何一個粒子會定義一個Affine matrix  $C_p^n = B_p^n (D_p^n)^{-1}$ ，其中
    - $D_p^n = \sum_i w_{ip}^n (x_i - x_p^n)(x_i - x_p^n)^T$
    - $B_p^{n+1} = \sum_i w_{ip}^n \hat{v}_i^{n+1} (x_i - x_p^n)^T$
  - 在P2G時，質量scatter方式不變，動量scatter方式則修正為
    - $m_i^n v_i^n = \sum_p w_{ip}^n m_p (v_p^n + B_p^n (D_p^n)^{-1} (x_i - x_p^n))$
  - 在G2P時，更新下一個時刻的Affine matrix
    - $C_p^{n+1} = \frac{4}{\Delta x^2} \sum_i w_{ip} v_i^{n+1} (x_i - x_p^n)^T$
  - 若要完整保留動量，可以使用更複雜的PolyPIC，但通常只會使用APIC

## MLS-MPM(Moving least square MPM)

- MLS-MPM對MPM中進行P2G以及G2P的權重進行了修正，將其替換為Moving least square的權重，使的更新 deformation gradient 以及計算節點受力可以更有效率。
- Moving least square
  - 對於給定的一組資料點  $x_0, x_1, \dots, x_n$ ，以及一段定義於x上之函數  $u(x)$ ， $u_i = u(x_i)$ ，想要透過一組多項式的線性組合去近似函數上的任意點z，也就是想要使  $u(z) = P^T(z)c(x)$ ，其中
    - $P(z) = [p_0(z), p_1(z), \dots, p_l(z)]^T$  為指定的多項式
    - $c(x) = [c_0(x), c_1(x), \dots, c_l(x)]^T$  為線性組合的係數
  - 可以將多項式平移至以固定點x做為中心，使  $u(z) = P^T(z - x)c(x)$
  - 而為了使線性組合接近函數u，定義兩者的差距函數  $J_x(c) = \sum_{i \in B_x} \xi_i(x) (P^T(x_i - x)c(x) - u_i)^2$ ，其中  $\xi_i(x)$  為以  $x_i$  為中心的權重函數， $B_x$  代表使  $\xi_i(x) \neq 0$  的i的集合。
  - 透過推導，可以知道使  $J_x(c)$  最小的係數  $c(x) = M^{-1}(x)b(x)$ ，其中
    - $b(x) = \sum_{i \in B_x} \xi_i(x) P(x_i - x) u_i$
    - $M(x) = \sum_{i \in B_x} \xi_i(x) P(x_i - x) P^T(x_i - x)$
  - 所以函式u就可以寫成  $u(z) = \sum_{i \in B_x} P^T(z - x) M^{-1}(x) P(x_i - x) u_i$ ，令  $\phi_i(z) = \xi_i(x) P^T(z - x) M^{-1}(x) P(x_i - x)$  為權重函數，則原函數可以寫成  $u(z) = \sum_{i \in B_x} \phi_i(z) u_i$ ，每個資料點的函數值的線性組合
- MLS-MPM對MPM的修正
  - 而MLS-MPM替換了原本MPM中使用的插值函數，使
    - $v_\alpha^n(x) = \sum_j \phi_j(x) v_{j\alpha}^n$
    - $q_\alpha(x, t^n) = \sum_i \phi_i(x) q_{i\alpha}^n$
  - 經過推導可以得到下面三個結果
    - 每個節點的受力可以寫成  $-w_{ip} \frac{4\Delta t}{\Delta x^2} \sum_p V_p^0 P(F_p^{n+1})(F_p^{n+1})^T (x_i - x_p^n)$
    - Affine matrix  $C_p = \frac{4}{\Delta x^2} \sum_i w_{ip} v_i (x_i - x_p)^T$

- 可以使用Affine matrix近似速度梯度 $\nabla v = \frac{\partial v^{n+1}}{\partial x}$ ，所以在更新deformation gradient時可以直接使用Affine matrix去更新deformation gradient:  $F_p^{n+1} = (I + \Delta t C_p^n) F_p^n$
- MLS-MPM Scheme
  - 所以MLS-MPM整體的演算法如下
  - At each time step n
    1. 更新Deformation gradient:  $F_p^{n+1} = (I + \Delta t C_p^n) F_p^n$ 
      1. 並轉移彈性型變至塑性型變
    2. P2G
      1. scatter質量:  $m_i^{n+1} = \sum_p m_p w_{ip}$
      2. scatter動量:
 
$$(mv)_i^{n+1} = \sum_p w_{ip} \{ m_p v_p^n + [m_p C_p^n - \frac{4\Delta t}{\Delta x^2} \sum_p V_p^0 P(F_p^{n+1})(F_p^{n+1})^T](x_i - x_p^n) \}$$
        1. 注意: 這裡的 $m_p v_p^n + m_p C_p^n (x_i - x_p^n)$ 為原本的APIC轉換，剩下的部分是節點受力，直接在P2G的時後就直接對節點施加彈性受力，更新動量。
    3. 得到節點速度:  $v_i^{n+1} = \frac{(mv)_i^{n+1}}{m_i^{n+1}}$ ，並做碰撞處理以及Projection。
    4. G2P
      1. gather速度:  $v_i^{n+1} = \sum_i w_{ip} v_i^{n+1}$
      2. 更新Affine matrix:  $C_p^{n+1} = \frac{4}{\Delta x^2} \sum_i w_{ip} v_i^{n+1} (x_i - x_p^n)^T$
    5. 更新粒子位置:  $x_p^{n+1} = x_p^n + \Delta t v_p^{n+1}$
    6. 粒子碰撞處理
- MLS-MPM相比MPM的好處
  1. 使用APIC進行轉換，盡可能保持系統動量。
  2. MLS-MPM中，直接在P2G的scatter動量中去對節點動量進行更新，而不是在P2G之後才去計算受力並更新，可以減少運算量。
  3. MLS-MPM中，直接使用Affine matrix去近似velocity gradient，用來更新deformation gradient，使更新的步驟可以提前至P2G，不需要等待節點計算完新的速度後才去更新，使得兩者可以並行，並減少運算量(步需要計算velocity gradient)

## Implementations

- Taichi
  - 我們使用Taichi這個程式語言進行物理模擬。Taichi是一個內嵌於Python中的程式語言，針對數值運算進行高效能的優化，並有內建的GUI系統，適合進行物理模擬。
  - 我們將修改其提供的範例程式碼: mpm3d\_ggui.py進行我們的物理模擬。
- 我們將透過Taichi生成模擬結果的粒子動畫，並輸出至Houdini中進行渲染，包含表面重建以及光線設定等。

## Results and discussion

- 我們測試了MPM以及MLS-MPM模擬的效果，並測試不同參數對模擬效果的影響
- 程式碼位於Snow\_simulation資料夾中，為Snow\_simulation.py
- 模擬的動畫結果位於[這個連結](#)，或是可以使用以下提供的Youtube連結觀看
- 結果中除了mpm\_reference\_ply以外，都是使用MLS-MPM模擬。
- 以reference\_ply的結果作為基準，以下比較不同參數對結果的影響

- 我們調整了四個參數進行比較
  1. Young's modulus  $E$
  2. Hardening coefficient  $\xi$
  3. Critical stretch  $\theta_s$
  4. Critical compression  $\theta_c$
- 不同檔名分別對應不同係數的調整
- Hardening coefficient會影響lame parameter，進一步影響物體特性
  - 如果較大，則雪較脆，可見reference\_ply
  - 如果較小，則雪較堅韌，可見lower\_hardening\_ply
- Young's modulus會影響材質的硬度
  - 如果較大，則雪較硬，可見reference\_ply
  - 如果較小，則雪較軟，可見lower\_young\_modulus\_ply
- Critical stretch以及Critical compression會影響彈性限度，也就是型變超過此範圍後會產生不可復原的塑性型變。
  - 如果較大，則雪較不容易斷裂，容易成塊，可見reference\_ply
  - 如果較小，則雪較容易斷裂，容易變成細粉，可見lower\_critical\_compression\_and\_critical\_stretch\_ply
- 我們也比較了MPM以及MLS-MPM的差異
  - MLS-MPM對於step size的容忍度較大，所以移動較快，且更可以保持動量，可見reference\_ply
  - MPM對於step size的容忍度較大，系統容易不穩定，且能量容易耗散，容易卡住之後就不動，可見mpm\_reference\_ply
- 實際上渲染出的效果與流體相似，較不似雪，我們認為原因有以下幾點
  1. 模擬使用的粒子數量不足，導致模擬效果不接近真實
  2. 使用Houdini重建表面的方式有誤，可能需要使用不同重建表面的方式。

## Extra

- 除了研究如何使用MPM以及MLS-MPM進行雪的模擬之外，我們還另外研究了如何模擬相變材料。所謂相變材料，即是在模擬過程中會因為溫度改變相態的物質，例如水的融化以及凝固。
- 為了模擬這種性質，需要去探討溫度的變化以及其對物質特性的影響。Augmented MPM這個方法即對MPM方法做了改善，使其可以模擬相變材料。
- Augmented MPM
  - 整體的概念為在每個時刻更新每個MPM粒子的溫度以及相態，並根據相態具調整物質的參數，以使不同溫度和狀態的粒子表現他們該有的特性。
  - Temperature evolve
    - 為了模擬溫度的變化，必須在每一個time step更新溫度
    - 根據熱力學，有以下三式
      - $\rho \frac{Du}{Dt} = -\nabla \cdot q$ ，其中 $\rho$ 為密度， $u$ 為每單位質量擁有的熱能， $q$ 為熱通量
      - $q = -\kappa \nabla T$ ，其中 $\kappa$ 為熱傳導係數， $T$ 為溫度
      - $c = \frac{du}{dT}$ ，其中 $c$ 為每單位質量的熱容量
    - 透過簡化，可以得到:  $\rho c = \frac{DT}{Dt} = \nabla \cdot (\kappa \nabla T)$
    - 將其對時間做離散化，即可得到:  $T^{n+1} - T^n = \frac{\Delta t}{\rho^n c^n} \nabla \cdot (\kappa^n \nabla T^{n+1})$ ，即可更新下一個時刻的溫度。

### ○ Latent heat

- 不只是需要改變溫度，當溫度達到熔點或冰點等導致物體相態變化的溫度時，則需要去改變相態
- 物質在改變相態時，會使用所謂潛熱，也就是若對此材質施加熱能，這些熱能會被拿去改變物質的相態，物質溫度不會變化。
- 所以，使用一個所謂「潛熱槽」的概念去模擬這種特性。具體而言，每次當溫度改變時，會去計算溫度是否達到熔點或冰點，若已達到則固定其溫度於熔點或冰點，並將多餘的溫度變化計算成熱能累計至潛熱槽中，當潛熱槽超出一定限制時，即表示熱能足夠使此粒子改變相態，因此改變粒子的相態，並使其能繼續改變溫度。

### ○ 物質參數

- 物質的參數如Lame' parameter、熱容量和熱傳導係數都會隨著溫度以及相態變化，每個time step更新完溫度以及相態後變換更新這些物質參數。

### ○ Constitutive model

- 由於整個模擬同時牽涉到流體以及固體，因此需要對能量做進一步調整。
- 首先，能量由彈性型變定義，並使用Fixed Corotated的方式定義能量，所以可以把能量拆分成由 $\mu$ 以及 $\lambda$ 負責的部分，即 $\psi(F_E) = \psi_\mu(F_E) + \psi_\lambda(J_E)$ ，其中
  - $\psi_\mu(F_E) = \mu ||F_E - R_E||_F^2$
  - $\psi_\lambda(J_E) = \frac{\lambda}{2}(J_E - 1)$
- 這樣的能量定義適用於固體，但對於流體，由於其僅會根據體積變化而型變，不會因為旋轉而造成型變，因此對於流體通常會將 $\mu$ 設為0，以刪除包含旋轉型變 $R_E$ 的能量 $\psi_\mu$
- 但由於 $\psi_\mu$ 也包含部分的體積型變，如果將其刪除將無法正確表現特性，因此會對 $\psi_\mu$ 做調整。
  - 對於彈性型變 $F_E$ ，可以將其拆解為膨脹或收縮的部分 $(J_E)^{\frac{1}{d}}I$ 以及旋轉的部分 $(J_E)^{-\frac{1}{d}}F_E$
  - 將 $\psi_\mu$ 修正為 $\hat{\psi}_\mu(F_E) = \psi_\mu(J_E^{-\frac{1}{d}}F_E)$ ，使 $\psi_\mu$ 在整體的能量中僅包含旋轉的部分，如此，使流體狀態的粒子的 $\mu = 0$ ，即可刪除旋轉導致的型變能量。
- 除此之外，若粒子處於流體狀態，仍需要在每次更新彈性型變 $F_E$ 之後將其旋轉的部分刪除，以免之後牽涉他的運算會包含旋轉型變。
  - 具體而言，在每個time step最後，若粒子處於流體狀態，會將 $F_E$ 更新為 $(J_E)^{\frac{1}{d}}I$ ，只留下體積變化的部分

### ○ Pressure and velocity

- 壓力變化會造成粒子位置、速度或溫度變化，因此也需要去在每個time step更新壓力。
- 根據Cauchy stress的定義， $\sigma_\lambda = \frac{1}{J}(\frac{\partial \psi_\lambda}{\partial J_E} \frac{\partial J_E}{\partial F_E})F_E^T = \frac{1}{J} \frac{\partial \psi_\lambda}{\partial J_E} J_E F_E^{-T} F_E^T = -pI$
- 其中 $p$ 為壓力，定義為 $p = -\frac{1}{J_P} \frac{\partial \psi_\lambda}{\partial J_E} = -\frac{1}{J_P} \lambda(J_E - 1)$
- 將其對時間離散化
  - $\frac{Dp}{Dt} = -\frac{1}{J_P} \frac{\partial^2 \psi_\lambda}{\partial J_E^2} \frac{DJ_E}{Dt}$
  - 由於 $J = J_E J_P$ 且 $\frac{DJ}{Dt} = J \nabla \cdot v$ ，所以 $\frac{DJ_E}{Dt} = J_E \nabla \cdot v$
  - 所以 $\frac{Dp}{Dt} = -\frac{1}{J_P} \frac{\partial^2 \psi_\lambda}{\partial J_E^2} J_E \nabla \cdot v = -\frac{\lambda J_E}{J_P} \nabla \cdot v$
  - 將 $\frac{Dp}{Dt}$ 近似為 $\frac{p^{n+1}-p^n}{\Delta t}$ ，即可得到 $\frac{p^{n+1}-p^n}{\Delta t} = -\frac{\lambda^n J_E^n}{J_P^n} \nabla \cdot v^{n+1}$
- 同時，系統遵循Navier Sroke equation，也將其對時間離散化
  - $\rho \frac{Dv}{dt} = \nabla \cdot \sigma + \rho g = \nabla \cdot \sigma_\mu - \nabla p + \rho g$
  - 將 $\frac{Dv}{Dt}$ 近似為 $\frac{v^{n+1}-v^n}{\Delta t}$ ，即可得到 $\frac{v^{n+1}-v^n}{\Delta t} = \frac{1}{\rho^n} \nabla \cdot \sigma_\mu - \frac{1}{\rho^n} \nabla p^{n+1} + g$
  - 將上式做operator splitting，即可得到以下兩式

- $\frac{v^* - v^n}{\Delta t} = \frac{1}{\rho^n} \nabla \cdot \sigma_\mu + g$
  - $\frac{v^{n+1} - v^*}{\Delta t} = -\frac{1}{\rho^n} \nabla p^{n+1}$
  - 對第二式兩側取divergence，整理後可以得到:  

$$\frac{J_P^n}{\lambda^n J_E^n} \frac{p^{n+1}}{\Delta t} - \Delta t \nabla \cdot \left( \frac{1}{\rho^n} \nabla p^{n+1} \right) = \frac{J_P^n}{\lambda^n J_E^n} \frac{p^n}{\Delta t} - \nabla \cdot v^*$$
  - 所以，更新速度以及壓力的流程為
    1. 透過  $\frac{v^* - v^n}{\Delta t} = \frac{1}{\rho^n} \nabla \cdot \sigma_\mu + g$ ，使用Cauchy stress以及外力得到  $v^*$
    2. 透過  $\frac{J_P^n}{\lambda^n J_E^n} \frac{p^{n+1}}{\Delta t} - \Delta t \nabla \cdot \left( \frac{1}{\rho^n} \nabla p^{n+1} \right) = \frac{J_P^n}{\lambda^n J_E^n} \frac{p^n}{\Delta t} - \nabla \cdot v^*$  得到下一個時刻的壓力  $p^{n+1}$
    3. 透過  $\frac{v^{n+1} - v^*}{\Delta t} = -\frac{1}{\rho^n} \nabla p^{n+1}$ ，得到下一個時刻的速度  $v^{n+1}$
- Augmented MPM Scheme
  - 統整上述，以下為Augmented MPM的整體演算法
  - At each time step
    1. 對deformation gradient施加plasticity，也就是限制彈性型變的singular value，轉移至塑性型變
    2. P2G
      1. 注意: 這裡使用的網格節點分為兩種: 中心網格節點以及MAC網格節點，中心網格節點位於網格中心，MAC網格節點位於每條邊上
      2. 粒子的質量會分別scatter至兩種節點
      3. 粒子的速度和熱傳導係數會scatter至MAC網格節點
      4. 粒子的  $J, J_E, c, T, \lambda^{-1}$  會scatter至中心網格節點
    3. Classify cell
      1. 首先，會先去檢查一個網格的四個邊是否碰撞，並標記。
      2. 接著標記網格種類，在接下來的步驟會用到
        1. 如果網格的四個邊的都碰撞，則標記此網格為碰撞
        2. 若否，則檢查網格的四個邊是否皆有質量，若是則標記此網格為內部網格
        3. 若否，則標記此網格為空網格，
    4. 使用計算每個節點受力並將v更新為v\*，可以使用MPM中explicit或是implicit的方法做計算。
    5. 透過方程式:  $\frac{J_P^n}{\lambda^n J_E^n} \frac{p^{n+1}}{\Delta t} - \Delta t \nabla \cdot \left( \frac{1}{\rho^n} \nabla p^{n+1} \right) = \frac{J_P^n}{\lambda^n J_E^n} \frac{p^n}{\Delta t} - \nabla \cdot v^*$  求得  $p^{n+1}$ 
      1. 這是一個柏松方程，可以使用與Chorin style projection的方式將其離散化後寫為線性系統並求解
      2. 可以使用Conjugate Gradient或是Multigrid Preconditioning Conjugate Gradient對線性系統快速求解。
    6. 透過方程式:  $\frac{v^{n+1} - v^*}{\Delta t} = -\frac{1}{\rho^n} \nabla p^{n+1}$  求得  $v^{n+1}$ 
      1. 將右側離散化即可更新
    7. 透過方程式:  $T^{n+1} - T^n = \frac{\Delta t}{\rho^n c^n} \nabla \cdot (\kappa^n \nabla T^{n+1})$  更新溫度
      1. 將右側離散化後對線性系統求解即可。
    8. G2P: 將節點速度、熱容量以及溫度gather回粒子上，並更新deformation gradient
      1. 如果粒子處於流體狀態，則要刪除其彈性型變的旋轉部分:  $F_{E_P}^{n+1} = (J_{E_P}^{n+1})^{\frac{1}{d}} I$
      2. 更新溫度時，如果達到熔點或冰點等，需要依照潛熱的方式處理
    9. 粒子的碰撞處理
- Implementation
  - 雖然我們已經完成整個演算法的實現，但是由於未知的原因，數值系統在經過幾個time step之後便會變的不穩定。因此無法展示模擬結果。

- 程式碼位於Phase\_change\_material中，主程式為phase\_change.py，其餘為輔助程式碼或是線性系統求解器。

## Conclusion

---

- MPM方法結合Lagrangian視角以及Eulerian視角，各取所長，各自負責物理模擬流程中自己擅長的部份，並使用P2G和G2P轉換兩種視角。
- MLS-MPM方法修改MPM方法中的權重，減少運算量，並使用APIC做為P2G以及G2P的方式，維持動量守恒
- Augmented MPM透過溫度以及相態調整物質參數，使物體可以模擬相態變化時的特性。

## Member contribution

---

- 110550059 劉珩睿
  - 題目發想
  - MPM, MLS-MPM, Augmented MPM方法研究
  - 實驗
  - 報告製作
- 110550047 巫廷翰
  - 題目發想
  - 實驗
  - Houdini 渲染
  - 細節調整
  - 報告製作

## Reference

---

- STOMAKHIN, A., SCHROEDER, C., CHAI, L., TERAN, J., AND SELLE, A. 2013. A material point method for snow simulation. ACM Trans. Graph. 32, 4 (July 2013) ([paper](#))
- C. Jiang, C. Schroeder, A. Selle, J. Teran, and A. Stomakhin. 2015. The affine particle-in-cell method. ACM Trans Graph 34, 4 (2015), ([paper](#))
- Hu Y., Fang Y., Ge Z., Qu Z., Zhu Y., Pradhana A., and Jiang C.. 2018. A moving least squares material point method with displacement discontinuity and two-way rigid body coupling. ACM Transactions on Graphics 37, 4, Article 150 (2018) ([paper](#))([github](#))
- Yuanming Hu, Tzu-Mao Li, Luke Anderson, Jonathan Ragan-Kelley, and Frédo Durand. 2019. Taichi: A Language for High-Performance Computation on Spatially Sparse Data Structures. ACM Trans. Graph., 38, 6 (2019), Article 201, Nov([paper](#))([github](#))
- STOMAKHIN, ALEXEY, SCHROEDER, CRAIG, JIANG, CHENFANFU, et al. 2014. “Augmented MPM for Phase-Change and Varied Materials”. ACM Trans. Graph. 33.4 (July 2014) ([paper](#))
- C. Jiang, C. Schroeder, J. Teran, A. Stomakhin, and A. Selle. 2016. The material point method for simulating continuum materials. In SIGGRAPH 2016 Course ([pdf](#))
- GAMES201 online course ([github](#))
- WaterSim: 2D fluid simulation ([github](#))
- FLIP using MGPCG ([zhihu](#))

# Files and links

---

- 程式碼位於Group\_34\_code.zip中 · 分別有Snow\_simulation以及Phase\_change\_material兩個資料夾。
- 模擬結果的Youtube連結如下
  - [lower\\_critical\\_compression\\_ply](#)
  - [lower\\_young\\_modulus\\_ply](#)
  - [lower\\_critical\\_stretch\\_ply](#)
  - [mpm\\_reference\\_ply](#)
  - [lower\\_critical\\_compression\\_and\\_stretch\\_ply](#)
  - [lower\\_hardening\\_ply](#)
  - [reference\\_ply](#)